

بررسی انتقال حرارت جابجایی نانو سیال در کanal مربعی با لوله صلب میانی و صفحه نگهدارنده

کارشناسی ارشد، دانشکده مهندسی مکانیک، دانشگاه شهرکرد، شهرکرد، ایران

استادیار، دانشکده مهندسی مکانیک، دانشگاه شهرکرد، شهرکرد، ایران

اکرم جهانبخشی

افشین احمدی ندوشن

چکیده

در این مقاله اثر افزودن نانو ذرات اکسید آلومینیوم در غلظت‌های ۱٪ تا ۵٪ به سیال پایه‌ی آب در یک کanal مربعی و لوله صلب میانی با وجود یک صفحه نگهدارنده مطالعه شده است. وجود صفحه نگهدارنده گامی در جهت اجرایی شدن این هندسه در طراحی مبدل‌ها و افزایش میزان انتقال حرارت با کمترین میزان حجم مبدل حرارتی است. بررسی جریان در کanal‌هایی با سطح مقطع غیر مدور می‌تواند بسیاری از محدودیت‌های اجرایی در صنعت مانند حد مجاز افتشار، را برطرف نماید. نتایج نشان می‌دهد که با افزایش درصد حجمی ذرات نانو، کاهش قابل توجهی در دمای بی بعد جریان حاصل شده است که به معنای افزایش ضریب انتقال حرارت جابجایی است. بطوریکه در عدد رینولدز ۱۰۰ و برای غلظت ۵٪ ذرات نانو، ضریب انتقال حرارت جابجایی نانو سیال در مقایسه با جریان آب خالص، نزدیک به ۱۴٪ افزایش دارد. وجود صفحه نگهدارنده نیز در کانتورهای رانه شده به وضوح مشخص است.

واژه‌های کلیدی: شبیه‌سازی عددی، نانو سیال، جابجایی اجباری، کanal با مقطع غیر مدور.

Study the Convective Heat Transfer of Nanofluids in Square Channel with Rigid Tube in Center and Holder Plate

A. Jahanbakhshi

Mechanical Engineering, Shahrekord University, Shahrekord, Iran

A. Ahmadi nadooshan

Mechanical Engineering, Shahrekord University, Shahrekord, Iran

Abstract

In this paper, the effect of adding aluminum oxide nanoparticles in concentration range of 1% to 5% to the base fluid (water) in a square-shaped channel and its rigid central tube with a holder plate was studied. Existence of the holder plate is a step to implement this kind of geometry in exchanger design and increase the rate of heat transfer at the lowest volume heat exchangers. Check the flow in the channel with non-circular cross section can be resolve a lot of administrative constraints such as maximum allowable pressure drop in the industry, The results showed significant reduction in dimensionless temperature with increasing the volume fraction of nanoparticles, which was interpreted as increase of the convection heat transfer coefficient. For example, the convection heat transfer coefficient of nanofluids was increased about 14% relative to the pure water in Re=100 and concentration of nanoparticles equivalent to 5%. Existence of holder plate influenced the thermal and hydrodynamic behavior of flow, which were vividly shown in the presented contours.

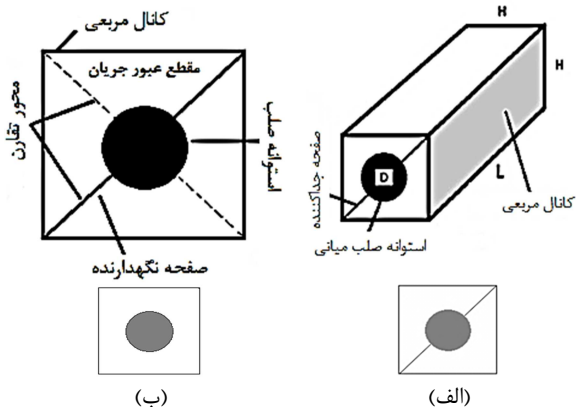
Keywords: Numerical Simulation, Nanofluid, Forced convection, Non-circular channel.

حرارتی قابل توجه آن‌ها را معرفی نمود. مرشد و کاسترو [۲] انتقال حرارت جابجایی اجباری برای نانو سیالات مختلف را مطالعه و مقایسه نمودند. آن‌ها سیالات پایه‌ی مختلفی از جمله آب، اتیل گلیکول و ... را بررسی کرده و دریافتند که تمامی نانو سیالات دارای ضریب انتقال حرارت بیشتری نسبت به سیال پایه هستند. میرمعصومی و بهزادمهر [۳] جابجایی مخلوط آب اکسید آلومینیوم را در یک لوله مدور افقی، به صورت دو فازی مورد مطالعه قرار دادند. نتایج کار آنها نشان داد که در ناحیه کاملاً توسعه یافته نانوذرات اثری بر پارامترهای هیدرودینامیکی جریان نداشته اما اثر آن‌ها بر رفتار حرارتی جریان چشمگیر است. پیشکار و قاسمی [۴] به بررسی جریان جابجایی مخلوط نانو سیال و سیال خالص در یک کanal افقی شامل یک منبع حرارتی به روش عددی تک فاز پرداختند. نتایج آن‌ها نشان داد که استفاده از نانو سیال موجب پخش بهتر حرارت و افزایش دمای میانگین منبع می‌شود. واصفی و علیزاده [۵] تاثیر نانو ذرات اکسید مس را بر روی انتقال حرارت جابجایی اجباری جریان آب در کanal‌های افقی با سطح مقطع های مختلف مورد مطالعه قرار دادند. نتایج آن‌ها بهبود انتقال حرارت را در اثر حضور نانوذرات نشان می‌داد. طبق مطالعاتی که توسط زینعلی و

۱- مقدمه

بررسی انتقال حرارت جابجایی در کanal‌های غیر دایره‌ای جهت کاربردهای صنعتی، گرمایشی و سرمایشی همچون مبدل‌های هوایی و فشرده بسیار حائز اهمیت است. در این کanal‌ها به علت کاهش سطح تماس سیال با دیواره تنش برشی در طول مسیر جریان سیال کمتر بوده و افت فشار کمتری نسبت به کanal‌های دایره‌ای وجود خواهد داشت. افت فشار پایین این مقاطع اهمیت آن‌ها را در کاربردهای صنعتی بارزتر می‌نماید خصوصاً در کاربردهایی که محدودیت‌هایی برای میزان افت فشار لحاظ شده است. به علاوه کاهش سطح تماس سیال و جداره‌ها، باعث کاهش در انتقال حرارت نیز می‌گردد، بنابراین برای جریان این کاهش از نانو سیالات به جای سیال خالص استفاده می‌شود. یکی از مسائلی که امروزه در طراحی مبدل‌های حرارتی اهمیت دارد افزایش میزان انتقال حرارت با کمترین میزان حجم مبدل حرارتی است. مقاطع غیر دایره‌ای نظیر کanal‌هایی با مقاطع مربعی و مثلثی از جمله مواردی است که باید به آن پرداخته شود. چوبی [۶] نخستین فردی بود که به مطالعه نانو سیالات پرداخت و ویژگی‌های

کanal مربعی تحت شار حرارتی ثابت برابر (w/m^2) ۲۰۰۰۰ بوده و دمای سیال ورودی (k°) ۲۹۳ است. در ادامه دو حالت متفاوت از مقطع عرضی نیز بررسی می‌شود. محدوده مورد نظر برای عدد رینولدز از ۱۰ تا ۱۰۰۰، قطر ذرات نانو برابر ۱۰ نانومتر و غلظت بین ۰ تا ۷/۵ در نظر گرفته شده است.



شکل ۱- هندسه مساله و مقاطع عبور جریان سیال

۳- معادلات حاکم بر جریان نانوسیال

معادلات حاکم بر این مساله عبارتند از: [۱۶-۱۴]:
پیوستگی:

$$\frac{\partial u}{\partial x} + \frac{\partial v}{\partial y} + \frac{\partial w}{\partial z} = 0 \quad (1)$$

مومنت X:

$$u \frac{\partial u}{\partial x} + v \frac{\partial u}{\partial y} + w \frac{\partial u}{\partial z} = - \frac{1}{\rho_{nf}} \frac{\partial p}{\partial x} + \frac{\mu_{nf}}{\rho_{nf}} \left(\frac{\partial^2 u}{\partial x^2} + \frac{\partial^2 u}{\partial y^2} + \frac{\partial^2 u}{\partial z^2} \right) \quad (2)$$

مومنت Y:

$$u \frac{\partial v}{\partial x} + v \frac{\partial v}{\partial y} + w \frac{\partial v}{\partial z} = - \frac{1}{\rho_{nf}} \frac{\partial p}{\partial y} + \frac{\mu_{nf}}{\rho_{nf}} \left(\frac{\partial^2 v}{\partial x^2} + \frac{\partial^2 v}{\partial y^2} + \frac{\partial^2 v}{\partial z^2} \right) \quad (3)$$

مومنت Z:

$$u \frac{\partial w}{\partial x} + v \frac{\partial w}{\partial y} + w \frac{\partial w}{\partial z} = - \frac{1}{\rho_{nf}} \frac{\partial p}{\partial z} + \frac{\mu_{nf}}{\rho_{nf}} \left(\frac{\partial^2 w}{\partial x^2} + \frac{\partial^2 w}{\partial y^2} + \frac{\partial^2 w}{\partial z^2} \right) \quad (4)$$

معادله انرژی:

$$u \frac{\partial T}{\partial x} + v \frac{\partial T}{\partial y} + w \frac{\partial T}{\partial z} = \alpha_{nf} \left(\frac{\partial^2 T}{\partial x^2} + \frac{\partial^2 T}{\partial y^2} + \frac{\partial^2 T}{\partial z^2} \right) \quad (5)$$

چگالی موثر، ظرفیت حرارتی و ضریب پخش حرارتی نانوسیال طبق روابط (۶)، (۷) و (۸) محاسبه شده است: [۱۷]

$$\rho_{nf} = (1 - (\phi_p)) \rho_{bf} + \phi_p \rho_p \quad (6)$$

$$(C_p \rho)_{nf} = (1 - (\phi_p)) (C_p \rho)_{bf} + \phi_p (C_p \rho)_p \quad (7)$$

$$\alpha_{nf} = \frac{K_{nf}}{(\rho C_p)_{nf}} \quad (8)$$

همکارانش [۶] روی انتقال حرارت جریان نانو سیال در کanal‌های با مقطع مثلث متساوی الاضلاع انجام گرفت این نتیجه حاصل شد که در این کanal‌ها افت فشار کمتری نسبت به مجراهای دیگر رخ داده است. همچنین نشان دادند که شدت انتقال حرارت به تغییر غلظت نانو ذرات بستگی دارد. تاثیرات ناشی از خطای تخمینی در ویسکوزیته‌ی دینامیکی موثر و قابلیت هدایتی در انتقال حرارت جابجایی آزاد مربوط به نانوسیال آلومینیوم - آب برای یک محفظه مربعی گرم شده توسط هو و همکارانش [۷] بررسی شد. نتایج کار آن‌ها نشان داد از طریق به کارگیری فرمول ویسکوزیته‌ی دینامیکی می‌توان شدت یافتن انتقال حرارت در میان محفظه را تشخیص داد. منصور و همکارانش [۸] به بررسی همزمان مساله‌ی جریان همرفتی آرام-درهم و انتقال حرارت برای نانو سیال اکسید آلومینیوم - آب در لوله پرداختند. در این مطالعه دیواره‌ی لوله در معرض شار حرارتی یکنواخت بود. انگوین و همکاران [۹] انتقال حرارت جابجایی نانو سیال آب-اکسید آلومینیوم را در خنک‌کاری قطعات الکترونیکی بررسی کردند. در پژوهش آن‌ها مشخص شد که ذرات با قطر ۳۶ نانو متر، ضریب انتقال حرارت را در مقایسه با ذرات با قطر ۴۷ نانو متر، بیشتر افزایش می‌دهند. هریس و همکاران [۱۰] با استفاده از مدل تک فاز همگن انتقال حرارت جابجایی آرام نانو سیال را در لوله‌ای با دمای ثابت دیواره بررسی کردند. شاه و لندن [۱۱] به مطالعه مشخصه‌های انتقال حرارت مربوط به جریان آرام در شکل-های متنوعی از کanal‌ها پرداختند. از جمله کanal‌هایی با انواع متنوعی از مقاطع مثلثی شکل که در رنج متنوعی از شرایط مرزی گرمایی قرار داشتند. زهنج [۱۲] گزارشی پیرامون اعداد ناسلت برای جریان آرام و کاملاً توسعه یافته برای مقاطع مثلث متساوی الساقین با دیواره‌ای دما ثابت و زوایای رؤس بین ۳۰ تا ۱۲۰ درجه، ارائه داد. نتایج حاصل از مطالعه‌ی جریان نانوسیال در کanal‌های غیر دور بر این نکته تاکید دارد که عدد ناسلت نانوسیال با افزایش غلظت ذرات نانو و کاهش قطر آنها افزایش می‌یابد. هیهات و کوثری [۱۳] در یک مقاله دیگر به بررسی اثر توزیع غیر یکنواخت ذرات نانو بر پارامترهای جریانی و حرارتی نانو سیال آب - آلومینا در یک لوله مدور پرداختند. آنها از یک روش دو مولفه‌ای که توسط یونجیوونو ارائه شده بود، استفاده کردند و نشان دادند که توزیع غیریکنواخت نانوذرات، انتقال حرارت را بهبود می‌بخشد. کلته و مهرزاد [۱۴] به مطالعه‌ی انتقال حرارت جریان آرام نانوسیال در فضای بین کanal مربعی و لوله‌ی صلب واقع در مرکز آن پرداختند و نتیجه گرفتند که تغییرات ناسلت متاثر از تغییرات عدد رینولدز و کسر حجمی نانو ذرات است. در ادامه‌ی کارهای ذکر شده و در تحقیق حاضر، موضوع اصلی بررسی رفتار حرارتی و هیدرو-دینامیکی جریان نانوسیال آب-اکسید آلومینیوم در کanal با مقاطع غیر دور همراه با جسم صلب میانی و صفحه نگهدارنده، و نیز بررسی اثر تغییر عدد رینولدز، عدد پرانتل، غلظت نانوذرات و نیز تغییر دمای ورودی جریان است.

۲- بیان مسئله

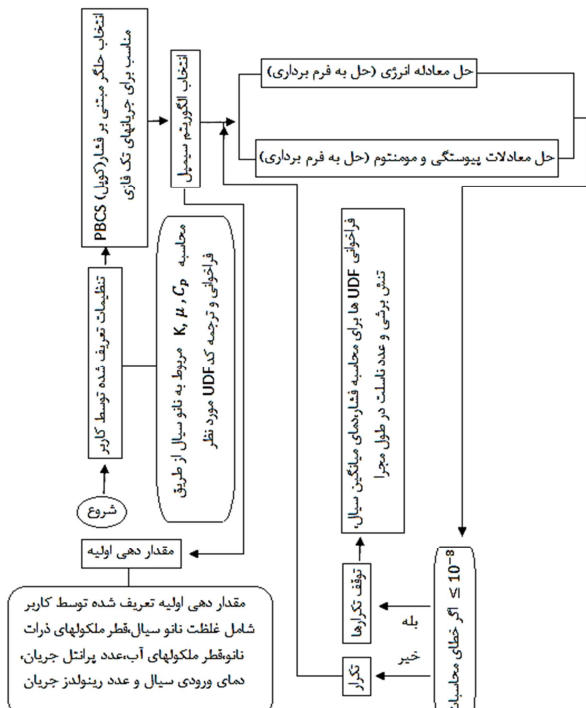
با توجه به شکل ۱ کanal حاوی نانوسیال Al_2O_3 و طول (m) L=۳ است. ابعاد اضلاع کanal (m) H=۰/۰۵، شعاع استوانه‌ی میانی برابر (m) D/2=۰/۰۱۲۵ و قطر هیدرولیکی مجرأ (m) ۰/۰۲۱۷ می‌باشد. جریان داخل محفظه آرام، پایدار و تراکم ناپذیر فرض شده است. دیواره‌های

۴- روش حل عددی

هندسه‌ی مساله در نرم افزار گمیت^۱ رسم، و نرم افزار فلوئنت^۲ به منظور حل معادلات به کار رفته است. خواص ترموفیزیکی نانوسيال با توجه به نوع معادلات حاکم توسط ماکروهای حلقه‌ای و نوشتن تابعی به زبان برنامه نويسی C^۳ محاسبه شده است تا نتایج دقیق‌تری از متغیرهای خروجی نظری تغییرات عدد ناسلت، فشار، تنش برشی و... حاصل شود. UDF‌ها بصورت دینامیکی در هر تکرار از پروسه حل در فلوئنت، اجرا می‌شوند و خواسته‌های مورد نیاز مساله را به فلوئنت اعمال می‌کنند. روند حل شبیه‌سازی حاضر بصورت فلوچارت شکل ۲ ارائه شده است.

۵- تایید صحت روش حل مساله

اعتبارسنجی این تحقیق با مقایسه نتایج حاضر و نتایج مراجع [۱۱، ۱۴ و ۲۰] صورت پذیرفته است. مقایسه نتایج در جداول ۲ و ۳ ذکر شده است. همچنین با استفاده از توابع تعريف شده و روش حل به کار رفته در این مطالعه‌ی عددی، مقادیر ضریب انتقال حرارت متوسط حاصل از شبیه‌سازی عددی جریان آرام آب خالص، در یک لوله با دیواره‌ی دما ثابت با نتایج حاصل از معادله‌ی معروف سیدر و تیت [۲۰] مقایسه شده است. شکل ۳ نشان دهنده‌ی این مقایسه است و بیانگر دقیق روش به کار رفته برای شبیه‌سازی عددی است. در معادله‌ی (۲۴) تمامی خواص به غیر از μ_s در مقدار متوسط دمای میانگین سیال ارزیابی شده‌اند.



شکل ۲- فلوچارت روند حل مساله

سرعت برآونی نانوذرات نیز از رابطه‌ی (۹) محاسبه شده است:

[۱۸]

$$V_{Br} \equiv \frac{Tk_b}{3\pi\mu_{bf}d_p l_{bf}} \quad (9)$$

در رابطه‌ی (۹) پارامترها بصورت زیر هستند:

$$k_b \quad (\text{ثابت بولتزمن}) \quad \text{و برابر با } j/k = 1.3807 \times 10^{-23}$$

l_{bf} نیز مسیر آزاد بین مولکولی است که از رابطه‌ی (۱۰) محاسبه شده

و برای سیال پایه‌ی آب برابر با $1/7 \cdot 10^{-7}$ نانو متر است: [۱۸]

$$l_{bf} = \frac{1}{\sqrt{2n\pi d_{bf}^2}} \quad (10)$$

n : چگالی ملکولی سیال پایه است.

رسانش حرارتی نانوسيال، از رابطه‌ی (۱۱) بدست می‌آید: [۱۸]

$$\frac{K_{nf}}{K_{bf}} = 1 + 64.7 \times \phi_p^{0.7460} \times \left(\frac{d_{bf}}{d_p} \right)^{0.3690} \times \left(\frac{K_p}{K_{bf}} \right)^{0.7476} \times Pr^{0.9955} \times Re^{1.2321} \quad (11)$$

اعداد بی بعد رینولدز و پرانتل در رابطه‌ی (۱۱) به صورت زیر

تعريف می‌شوند: [۱۸]

$$Re \equiv \frac{\rho_{bf} V_{Br} d_p}{\mu} = \frac{\rho_{bf} k_b T}{3\pi \mu^2 l_{bf}} \quad (12)$$

$$Pr = \frac{\mu_{bf}}{\rho_{bf} \alpha_{bf}} \quad (13)$$

ویسکوزیته‌ی دینامیکی نانوسيال از رابطه‌ی (۱۴) که حاصل از

تجربی برای نانوسيال آب-آلومینا است، بدست می‌آید: [۱۹]

$$\mu_{nf} = -0.155 \cdot \frac{19.583}{T} + 0.749 \phi_p + \frac{2094.47}{T^2} - 0.192 \phi_p^2 - \frac{8.11 \phi_p}{T^3} \cdot \frac{27463.863}{T^3} + 0.0127 \phi_p^3 + \frac{1.6044 \phi_p^2}{T} + \frac{2.1754 \phi_p}{T^3} \quad (14)$$

قطر هیدرولیکی، محیط و مساحت تر شده به ترتیب روابط (۱۵)، (۱۶) و (۱۷) به دست می‌آید.

$$D_h = \frac{4A}{P} \quad (15)$$

$$A = \frac{1}{2} [(H \times H) - \left(\pi \frac{d^2}{4} \right)] \quad (16)$$

$$P = [(2 \times H) + (\pi \times r) + \sqrt{2H^2} - 2 \times r] \quad (17)$$

در این روابط، H اندازه ضلع سطح مقطع کanal و r شعاع لوله است.

برای یافتن دمای میانگین سیال رابطه‌ی (۱۸) در نظر گرفته شده است:

$$T_b = \frac{(q'' \times z \times p)}{(m \times c_p)} + T_{in} \quad (18)$$

$$\dot{m} = \rho A V \quad (19)$$

$$h = \frac{q''}{T_{wall}(z) - T_{balk}(z)} \quad (20)$$

$$NU = \frac{h D_h}{K_{nf}} \quad (21)$$

$$f = \frac{\tau_{wall}}{\frac{1}{2} \rho_f V^2} \quad (22)$$

سرعت ورودی جریان از رابطه‌ی (۲۳) حاصل می‌شود.

$$V = \frac{\dot{m} \rho_{nf} h}{\rho_{nf} D_h} \quad (23)$$

¹ Gambit

² Fluent

³ Udf

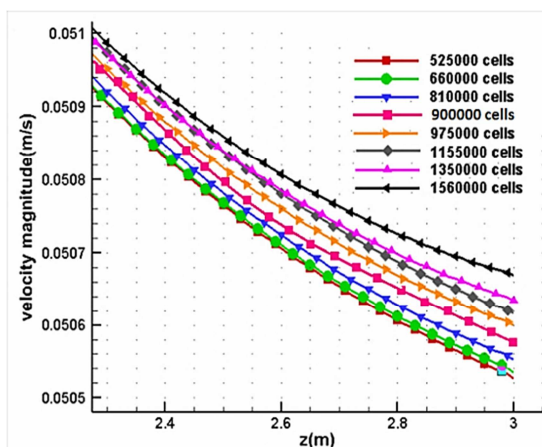
ورودی، خروجی، گوشه‌های کانال (نژدیک دیواره‌ها) و سطح منحنی شکل با نسبت مناسبی ریزتر در نظر گرفته شده است. به منظور بررسی استقلال نتایج حل عددی از شبکه‌بندی دامنه حل، چهار نوع شبکه‌ی درشت، متوسط، ریز و خلی ریز مورد بررسی قرار گرفته است.

شبکه‌بندی نتایج را با هزینه‌ی زمانی کمتر و با دقت قابل قبولی نسبت به حالت خلی ریز ارائه می‌دهد و مناسب‌ترین گزینه برای انتخاب شبکه اصلی است. برای این تحقیق، شبکه‌بندی مستطیلی با تعداد ۱۳۵۰۰ سلول و ۱۳۹۵۴۳۶ گره انتخاب شده است. این انتخاب بر مبنای بزرگی سرعت روی خط مرکزی مقطع مورد تحلیل، مطابق شکل ۴ است. باید تأکید داشت که کنترل کیفیت مش در این مرحله، نقشی اساسی در دقت و پایداری محاسبات عددی دارد.

همواره در جریان‌های داخلی وجود ناحیه‌ی ورودی یا همان ناحیه‌ی کاملاً فراگیر مورد توجه است. در این پژوهش برای سیال خالص و عدد رینولدز برابر ۱۰ و با توجه به لایه‌ای بودن جریان، طول ورودی هیدرودینامیکی برابر $(m) = 0.13$ و طول ورودی گرمابی برابر $(m) = 0.0768$ به دست آمده است. در اعداد رینولدز بالاتر طول ورودی افزایش یافته بطوریکه در رینولدز ۱۰۰ برای ورودی هیدرودینامیکی طول $(m) = 0.1303$ و برای طول ورودی حرارتی مقدار 0.768 حاصل می‌شود. واضح است که پس از ناحیه‌ی ورودی حالت کاملاً فراگیر در مجرای رخ می‌دهد.

۷- ساختار داده‌های UDF

مناطق سلولی و نواحی صفحه‌ای (درحال حجم محدود) در UDF‌ها بصورت داده‌های رشتۀ‌ای قابل دسترسی هستند. رشتۀ، داده‌ای است که توسط فلوئنت تعریف شده است. مطابق شکل ۵ برای دسترسی به داده‌ها در یک رشتۀ^۲ یا ناحیه^۳، باید نشانگر صحیحی را برای رشتۀ ایجاد کرده و از حلقه‌ی ماکروی ایجاد شده توسط فلوئنت استفاده کنیم تا به هر عضو سلول^۴ یا سطح^۵ در آن رشتۀ دست یابیم.



شکل ۴- مقایسه بزرگی سرعت در خط مرکزی مقطع عرضی کانال برای تعداد مش‌های مختلف

معادله‌ی سیدر و تیت و فرضیات آن به شرح زیر است:

$$\overline{NU_D} = 1.86 \left(\frac{Re_D Pr}{L/D} \right)^{1/3} \left(\frac{\mu}{\mu_s} \right)^{0.14}$$

$$T_s = \text{constant}$$

$$0.48 < Pr < 16700 , \quad 0.0044 < \frac{\mu}{\mu_s} < 9.75 \quad (24)$$

جدول ۱- خواص ترموفیزیکی آب و اکسید آلمینیوم [۱۶]

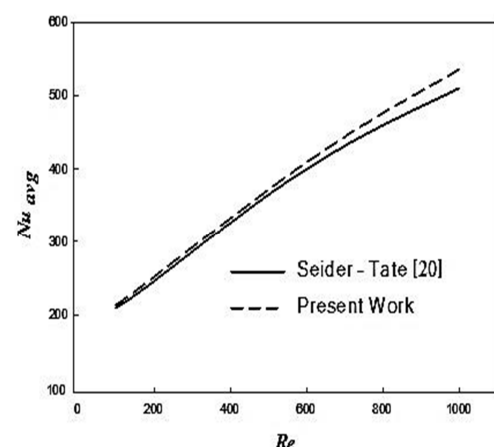
اکسید آلمینیوم	آب	خواص فیزیکی
۳۹۷۰	۹۹۷/۱	$\rho(\text{kg/m}^3)$
۷۶۵	۴۱۷۹	$c_p(\text{J/kg.k})$
۴۰	۰.۶۱۳	$k(\text{W/m.k})$

جدول ۲- مقایسه ناسلت متوسط آب خالص در کانال با نتایج دیگران

در $Re=100$	کار حاضر	کلته و مهرزاد [۱۴]	شاه و لندن [۱۱]
۳/۳۲۸	$Nu=5.14$	$Nu=5.6615$	$Nu=5.317$
۱/۳۱۶	$f.Re=22/31$	$f.Re=24/54$	$f.Re=22/02$

جدول ۳- مقایسه ناسلت متوسط نانوسیال در کانال با نتایج دیگران

در $Re=100$	کار حاضر	کلته و مهرزاد [۱۴]	غلاظت نانوذرات در قطر 70 نانومتر
۱/۱۵	$Nu=5.23$	$Nu=5.91$	$\phi = 1/1$
۱۱/۳۷	$Nu=5.30$	$Nu=5.98$	$\phi = 1/2$



شکل ۳- اعتبار سنجی مقادیر ناسلت متوسط کار حاضر با مقادیر حاصل از معادله‌ی سیدر و تیت [۲۰]

۶- مطالعه‌ی شبکه

برای شبکه‌بندی هندسه‌ی مورد بررسی از شبکه‌بندی منظم^۱ استفاده شده است. این شبکه‌بندی‌ها در طول کانال یکنواخت و در

² Thread

³ Zone

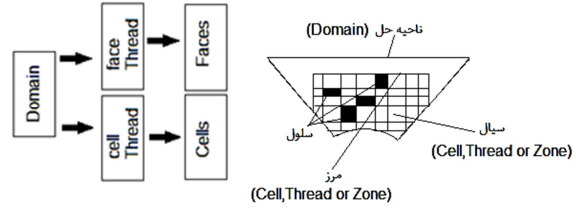
⁴ Cell

⁵ Face

¹ Structure

مختلف در شکل ۶ ارائه شده است. مشاهده می‌شود که در رینولذز ۱۰۰ با افزایش درصد غلظت نانوذرات از ۲٪ به ۵٪، ناسلت متوسط ۱۷.۶٪ و در رینولذزهای ۵۰۰ و ۱۰۰۰ به ترتیب ۸.۶٪ و ۸.۸٪ افزایش داشته است. همچنین در غلظت ϕ با افزایش عدد رینولذز از ۱۰۰۰ به ۹۸.۴٪ این افزایش مقدار ۹۸.۴٪ است که بیانگر تاثیر چشمگیر عدد رینولذز نسبت به سایر متغیرهای مورد نظر است و تاثیرپذیری افزایشی عدد ناسلت از پارامتر عدد رینولذز در مقایسه با تاثیر افزایش غلظت نانو ذره، قابل توجه است. این نتیجه‌گیری‌ها بصورت گسترشده‌تر برای محدوده‌ی اعداد رینولذز مورد مطالعه، در جدول ۶ ذکر شده است. در رینولذز برابر ۱۰، درصد افزایش ناسلت متوسط نسبت به آب خالص و در کسر حجمی ۵٪، برابر ۱۸٪ است. برای رینولذز ۱۰۰ در همان کسر حجمی درصد افزایش برابر ۱۰٪ و در عدد رینولذز ۵۰۰ برای غلظت ۵٪، افزایش عدد ناسلت نسبت به آب خالص ۱۲٪ است. همچنین در رینولذز ۷۵۰ این افزایش برابر ۳۰٪ و در رینولذز برابر ۱۰۰۰ میزان افزایش برابر ۱۶٪ است. در یک قطر ثابت برای نانو ذرات جامد با افزایش غلظت حجمی عدد ناسلت افزایش داشته و این افزایش، بهمود رفتار حرارتی جریان را به دنبال دارد. بنابراین کمترین نرخ تغییر برای عدد ناسلت در هر رینولذز برای غلظت‌های حجمی پایین است و بیشترین نرخ تغییر برای غلظت ۵٪ می‌باشد، که بالاترین غلظت به کار رفته در این پژوهش است. همچنین واضح است که شدت انتقال حرارت به تعییر غلظت نانو ذرات بستگی زیادی دارد. در شکل ۷ مشخص است که در شرایط یکسان، طول ورودی هیدرودینامیکی نانوسیال با افزایش غلظت نانوذرات اندکی بزرگ‌تر است و توسعه یافته‌گی کمی دیرتر رخ می‌دهد. اما توسعه یافته‌گی در جریان نانوسیال نسبت به سیال خالص زودتر حاصل شده است و طول ورودی در جریان نانوسیال کمتر است. همچنین می‌توان اشاره داشت که در ناحیه کاملاً توسعه یافته وجود نانوذرات اثر قابل ملاحظه‌ای بر پارامترهای هیدرودینامیکی جریان نداشته اما اثر آن‌ها بر پارامترهای حرارتی چشمگیر است. در ادامه با توجه به شکل ۸ این نتیجه‌گیری حاصل شده است که در جریان نانوسیال مقدار ناسلت به عدد پرانتل سیال پایه نیز بستگی دارد. در اینجا در فشار انسفر با افزایش دمای ورودی جریان و به دنبال آن کاهش عدد پرانتل، مشاهده می‌شود که عدد ناسلت افزایش داشته است و این میزان افزایش در ناحیه توسعه یافته‌ی حرارتی نسبت به ابتدای طول کanal، چشمگیرتر است، به عبارتی در جریان نانوسیال عدد ناسلت موضعی در طول ورودی گرمایی مستقل از پرانتل است. این نتیجه نیز حاصل می‌شود که در جریان نانوسیال تاثیر پذیری عدد ناسلت از تغییرات عدد رینولذز بیشتر از تغییرات عدد پرانتل است به طوری که با تغییر عدد رینولذز از ۱۰۰ به ۲۵۰ در غلظت ثابت ۵٪ مقدار ناسلت متوسط تقریباً نزدیک به ۲۲٪ افزایش دارد و با تغییر عدد پرانتل از ۷۰٪ به ۳۵٪ در همین شرایط و رینولذز ۱۰۰۰، مقدار ناسلت متوسط از مقدار ۳۵٪ به ۳۶٪ افزایش می‌یابد که بیانگر افزایش ۲٪ در عدد ناسلت متوسط جریان است.

ضریب انتقال حرارت جابجایی نیز به پارامترهای چون چگالی، ویسکوزیتی، رسانندگی گرمایی، گرمای ویژه، هندسه‌ی سطح و شرایط جریان بستگی دارد. این ضریب در کanal غیر دایره‌ای در پیرامون مجرای تغییر می‌کند و در گوشه‌ها به شدت کاهش می‌یابد مانند آنچه در شکل ۹ مشخص است.



شکل ۵- مناطق سلولی و نواحی صفحه‌ای در حالت حجم محدود در **UDF**

جدول ۴- نوع متغیر و مفهوم آن‌ها در توابع **udf**

مفهوم	متغیر	نوع
d اشاره به رشته‌ی دامنه (domain thread)	$*d;$	Domain
t اشاره به رشته (thread)	$*t;$	Thread
c اشاره به متغیر رشته‌ی سلول (cell thread variable)	$C;$	Cell-t
f اشاره به متغیر رشته‌ی سطح (face thread variable)	$f;$	Face-t

از ماکروهای حلقه‌ای برای تعیین خواص بهره گرفته شده است و از کد نویسی نیز برای دریافت متغیرهای خروجی مورد نظر و بررسی روند تغییرات آن‌ها در طول کanal استفاده شده است. زیرا بطور مثال نرم افزار فلوئنت در محاسبه‌ی عدد ناسلت به شدت خطأ داشته و علت آن هم عدم محاسبه‌ی دمای بالک (میانگین) سیال در هر مقطع است که به جای آن از دمای تعیین شده در قسمت رفرنس استفاده می‌نماید و این امر در مسائل، منجر به بروز خطای در حد ۲۰٪ خواهد شد. در نتیجه برای محاسبه‌ی دمای بالک و ناسلت موضعی استفاده از **udf**ها ضروری است.

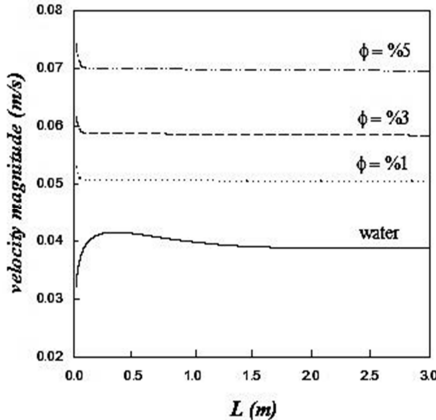
جدول ۵- ماکروهای حلقه‌ای به کار رفته در **udf**

thread_loop_c(ct,d){ }	d حلقه روی همهی سلول‌ها در دامنه
thread_loop_f(ft,d){ }	d حلقه روی همهی سلول‌ها در دامنه
begin_c_loop(c,t) {.....} end_c_loop(c,t)	حلقه روی همهی سلول‌ها در t cell thread
begin_f_loop(f,f_thread) {.....} end_f_loop(f,f_thread)	حلقه روی همهی وجه‌ها در face thread

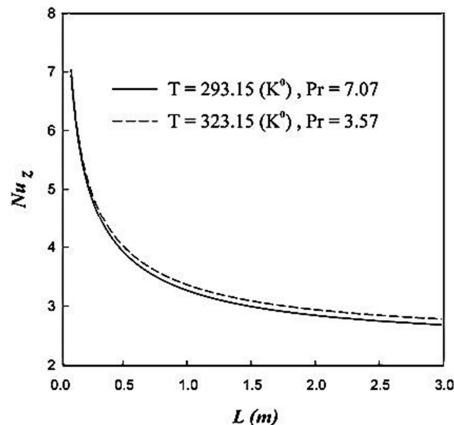
۸- نتایج

پس از اطمینان از صحت روش حل، به بررسی اثر پارامترهای مختلف می‌پردازیم. در جریان سیال خالص و همچنین جریان نانوسیال، عدد ناسلت در ابتدای کanal مقدار بزرگی داشته و با پیشروعی در امتداد طول کanal تا مقادیر مجانبی اش (جریان کاملاً فراگیر) کاهش می‌یابد. این عدد معیاری برای انتقال گرمای جابجایی برای سطح در تماس با جریان سیال به شمار می‌آید. در هر غلظت حجمی و قطر ثابت نانو ذره، با افزایش عدد رینولذز مقدار عدد ناسلت نیز افزایش می‌یابد. با مقایسه‌ی مقادیر متوسط کمیت‌ها می‌توان به وضوح نتایج حاصل شده را شرح داد. بنابراین مقادیر متوسط عدد ناسلت برای غلظت و رینولذزهای

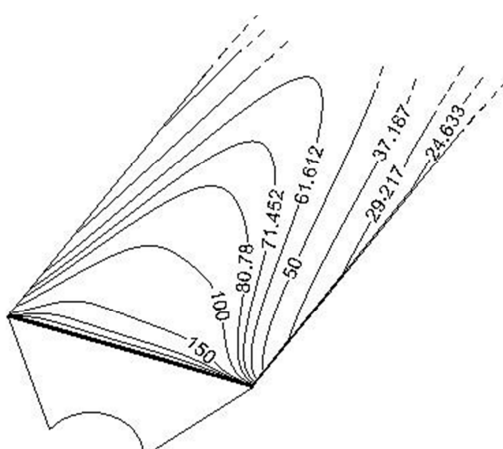
رینولدز ثابت بررسی شده است. شکل ۱۲ نیز تاثیرپذیری دمای بی بعد نانوسیال از تغییرات عدد رینولدز دریک غلظت ثابت را نشان داده است. مشخص است که با افزایش عدد رینولدز، دمای بی بعد کاهش یافته و این امر نتیجه افزایش ضریب انتقال حرارت جابجایی در رینولدزهای بزرگتر است.



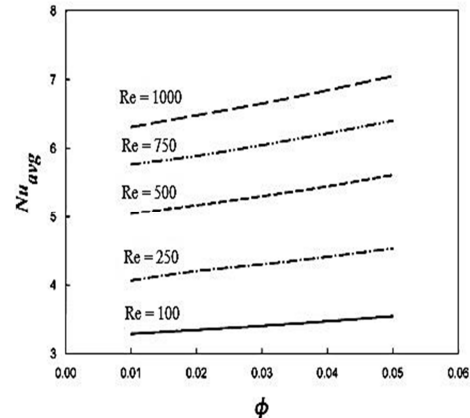
شکل ۷- مقایسه‌ی بزرگی سرعت در مرکز هندسه‌ی کانال برای آب و نانوسیال با غلظت‌های مختلف و $Re=750$



شکل ۸- مقایسه‌ی ناسلت متوسط پوزیعی با تغییر عدد $Pr=100$ در $Re=100$ و $\phi=0.5$



شکل ۹- مقادیر ضریب انتقال حرارت جابجایی در گوشه‌های کانال برای جریان نانوسیال در $Re=100$ و $\phi=0.5$

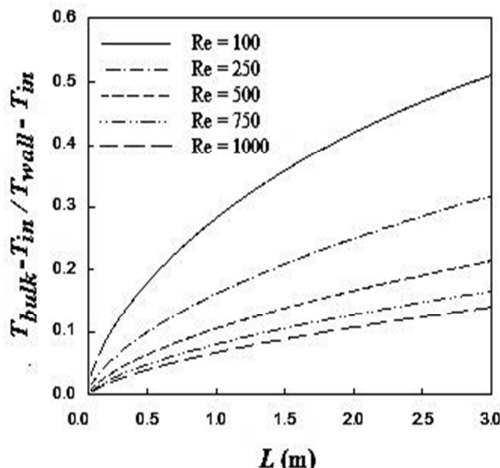


شکل ۶- مقایسه‌ی ناسلت متوسط در کسر حجمی و رینولدزهای مختلف

جدول ۶- مقایسه‌ی مقادیر عدد ناسلت متوسط نانوسیال در غلظت و رینولدزهای مختلف

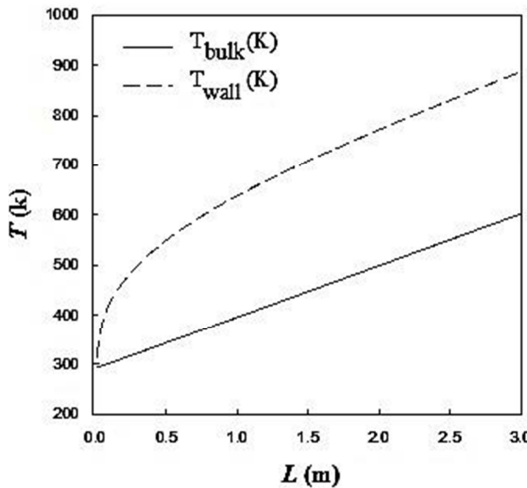
$\phi=0.5$	$\phi=0.3$	$\phi=0.1$	عدد رینولدز
۲,۵۵۵۸	۲,۵۲۷	۲,۵۰۴	$Re=100$
۳,۵۴۶	۳,۴۰۶	۳,۲۸۹	$Re=100$
۵,۶۱۴	۵,۳۰۶	۵,۰۴۷	$Re=500$
۶,۴۰۳	۶,۰۴۸	۵,۷۶۸	$Re=750$

به همین جهت است که هنگام استفاده از رابطه‌ی کانال با مقطع دایره‌ای در مجراهای غیر مدور، مقادیر عددی متوسط در محیط استفاده می‌شود. زیرا اینکه در گوشه‌های کانال، با ایجاد گردابها سطح تماس بین جریان سیال و دیواره‌ها کم شده است از این رو کاهش شدیدی در ضریب انتقال حرارت جابجایی ایجاد می‌شود. ضریب جابجایی در ورودی کانال بیشترین مقدار خود را دارد اما این را با مقادیر لایه‌ی گرمایی در ورودی مجرأا صفر است که با گسترش لایه‌ی مرزی گرمایی، این ضریب سریعاً کاهش یافته و در ناحیه‌ی کاملاً توسعه یافته به مقدار ثابتی می‌رسد. در شکل ۱۰ مقایسه‌ی ضریب انتقال حرارت جابجایی متوسط در غلظت و رینولدزهای مختلف صورت گرفته است و در جدول ۷ نتایج این مقایسه به صورت عددی ذکر شده است. از آنجا که وجود انتقال گرمای جابجایی بین سطح و نانوسیال موجب می‌شود که دمای سیال با حرکت در امتداد طول کانال به طور پیوسته تغییر کند، از این‌رو برای تحلیل رفتار حرارتی و بررسی شرایط کاملاً فراگیر گرمایی، بهتر است جریان از نظر تغییرات دمایی آن نیز مورد تحلیل قرار گیرد. برای توصیف رفتار حرارتی جریان داخلی و در نبود دمای ثابت جریان آزاد، باید از دمای میانگین استفاده شود. دمای میانگین سیال (دمای بالک- دمای کپه‌ای) در یک مقطع عرضی معین بحسب انرژی گرمایی انتقال یافته می‌باشد در حالی که دمای میانگین سیال (دمای بالک- دمای کپه‌ای) در یک مقطع عرضی معین بحسب تعريف می‌شود و در مقطع غیر دایره‌ای در حالت شار گرمایی یکنواخت، مشاهده شده است که دمای دیواره حول محيط مقطع تغییر می‌کند. از آنجا که دمای سیال نسبت به دمای ورودی آن، با پیشروع در طول کانال افزایش می‌یابد، دمای میانگین سیال دمای مرجع مناسبی برای جریان‌های داخلی است و همان نقش دمای جریان آزاد (T_{∞}) را برای جریان‌های داخلی ایفا می‌کند. در شکل ۱۱ تاثیرپذیری دمای بی بعد نانوسیال از تغییرات درصد حجمی نانوذرات در یک



شکل ۱۲- مقایسه‌ی دمای بی بعد برای $\phi=1\%$ در رینولدزهای مختلف

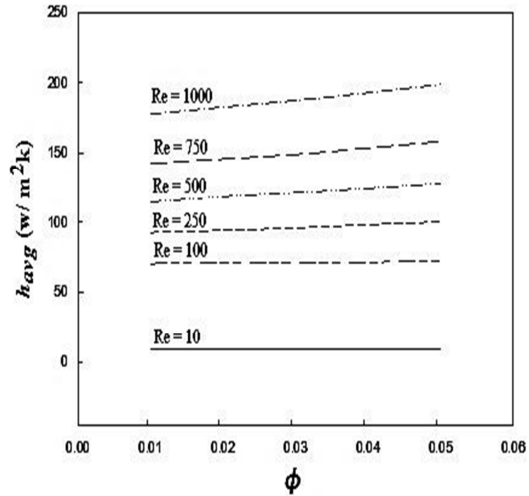
در شکل ۱۴ نیز به مقایسه‌ی دمای میانگین سیال و دمای دیواره‌ی کanal در عدد رینولدز ۱۰۰ و کسر حجمی ۰.۱ پرداخته شده است و نتایج آن در جدول ۹ آمده است. در شکل ۱۵ همان مقایسه با ثابت در نظر گرفتن عدد رینولدز و افزایش درصد کسر حجمی نانوذرات صورت گرفته است.



شکل ۱۳- مقایسه‌ی دمای میانگین (بالک) سیال و دمای دیواره‌ی کanal برای جریان آب خالص در $Re=100$

جدول ۸- مقایسه‌ی تفاضل دمای میانگین (بالک) سیال و دمای دیواره‌ی کanal برای آب در $Re=100$

قطعه مشخصی از کanal	$T_{wall}-T_{bulk}$	h ($\text{w/m}^2\text{k}$)
$L=0.03$ (m)	۶۶/۱۱۳	۳۰.۲۵۱۳
$L=0.05$ (m)	۲۰.۵۹	۹۷.۱۳۸
$L=1$ (m)	۲۲۲.۸۰۵	۸۲.۳۷۰
$L=1.8$ (m)	۲۶۸.۴۳۵	۷۴.۵۰۶
$L=2$ (m)	۲۷۷.۲۶۵	۷۳.۴۶
$L=2.99$ (m)	۲۸۴.۶۰۳	۷۰.۲۷۳
$L=3$ (m)	۲۸۴.۷۳	۷۰.۲۴۲

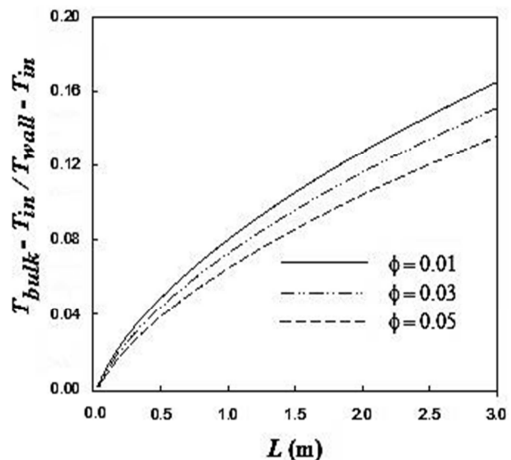


شکل ۱۰- مقایسه‌ی ضریب انتقال حرارت جابجاگی متوسط در کسر حجمی و رینولدزهای مختلف

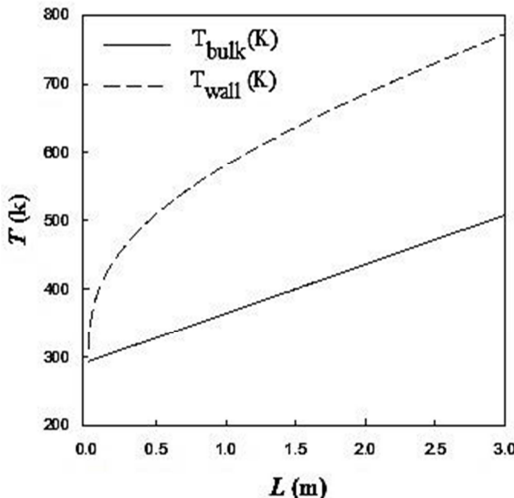
جدول ۷- مقایسه‌ی ضریب انتقال حرارت جابجاگی در $Re=100$

کسر حجمی ذرات نانو	h_{avg} ($\text{w/m}^2\text{k}$)	نسبت به آب خالص
آب خالص	88.99	-
$\phi=0.1$	93.79	۰.۵۳۹
$\phi=0.2$	95.62	۰.۷۴۵
$\phi=0.3$	97.4	۰.۹۴۵
$\phi=0.4$	99.46	۰.۱۱۶۵
$\phi=0.5$	101.63	۰.۱۴۲۰

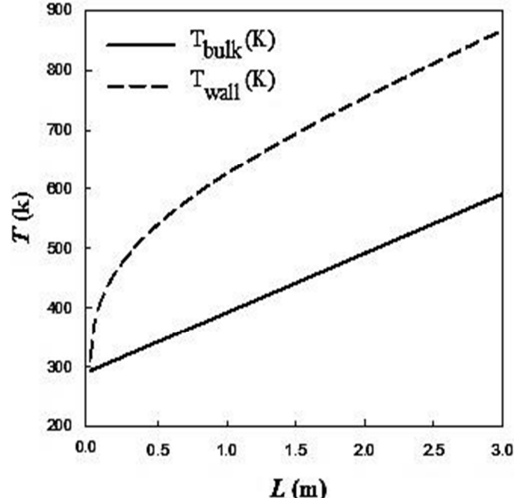
با افزایش درصد حجمی ذرات نانو، کاهش قابل توجهی در دمای بی بعد جریان حاصل شده است که به معنای افزایش ضریب انتقال حرارت جابجاگی است. واضح است که دمای میانگین در امتداد کanal به طور خطی تغییر یافته و با افزایش درصد حجمی نانوذرات، کاهش می‌یابد. در شکل ۱۳ به مقایسه‌ی دمای میانگین (بالک) سیال و دمای دیواره‌ی کanal در رینولدز ۱۰۰ پرداخته شده است. نتایج آن به صورت عددی در جدول ۸ ارائه شده است.



شکل ۱۱- مقایسه‌ی دمای بی بعد در $Re=750$ بر اساس کسر حجمی نانوذرات



شکل ۱۵- مقایسه‌ی دمای میانگین (بالک) سیال و دمای دیواره‌ی کanal برای کسر حجمی $\phi = 5\%$ در $Re=100$



شکل ۱۶- مقایسه‌ی دمای میانگین (بالک) سیال و دمای دیواره‌ی کanal برای کسر حجمی $\phi = 1\%$ در $Re=100$

جدول ۹- مقایسه‌ی تفاضل دمای میانگین (بالک) سیال و دمای دیواره‌ی کanal برای کسر حجمی $\phi = 5\%$ در $Re=100$

$h (w/m^2k)$	$T_{wall}-T_{bulk}$	قطعه مشخصی از کanal
۲۹۲,۹	۶۸,۳	$L=0,۰۳ (m)$
۱۰۰,۷	۱۰,۸,۶۵	$L=0,۰۵ (m)$
۸۵,۵	۲۴,۳	$L=1 (m)$
۷۷,۳۰,۴	۲۸۵,۷۲	$L=1,۸ (m)$
۷۶,۲۰,۷	۲۶۲,۴۴	$L=2 (m)$
۷۲,۸۳,۴	۲۴۷,۶	$L=2,۹ (m)$
۷۲,۸	۲۷۴,۷	$L=3 (m)$

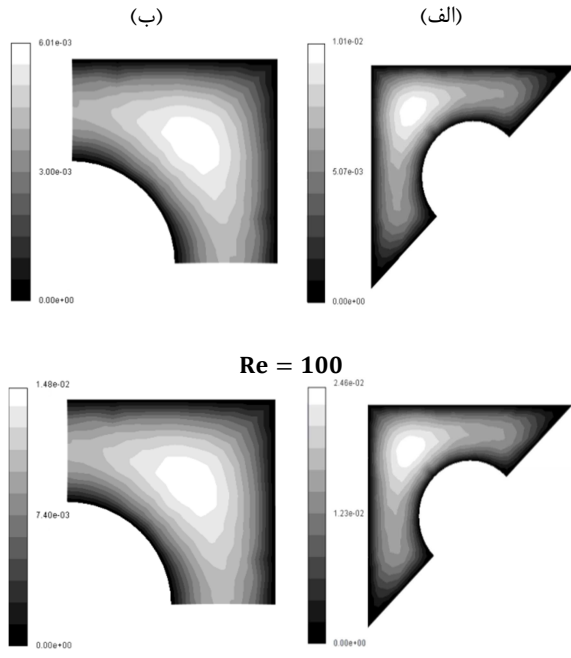
جدول ۱۰- مقایسه‌ی تفاضل دمای میانگین (بالک) سیال و دمای دیواره‌ی کanal برای کسر حجمی $\phi = 5\%$ در $Re=100$

$h (w/m^2k)$	$T_{wall}-T_{bulk}$	قطعه مشخصی از کanal
۳۲۹,۹۱۷	۶۰,۶۲	$L=0,۰۳ (m)$
۱۱۰,۴۲	۱۸۱,۱۳	$L=0,۰۵ (m)$
۹۲,۰۵۱۳	۲۱۷,۳	$L=1 (m)$
۸۱,۶۵۴	۲۴۵	$L=1,۸ (m)$
۸۰,۲۲۳	۲۴۹,۳۰۵	$L=2 (m)$
۷۵,۷۶	۲۶۳,۹۹	$L=2,۹ (m)$
۷۵,۷۱۸	۲۶۴,۱۴	$L=3 (m)$

از مقایسه‌ی افت فشار در جریان نانوسیال با سیال خالص مشخص است که در جریان نانوسیال افت فشار افزایش یافته و این امر باعث بالا رفتن توان پمپاژ می‌گردد. اختلاف فشار ورودی و خروجی در استفاده از آب خالص برابر $۰/۴۷۱۲$ است که با استفاده از نانوسیال و افزایش غلظت حجمی در یک قطر مشخص از نانوذرات، اختلاف فشار نیز افزایش پیدا کرده و این

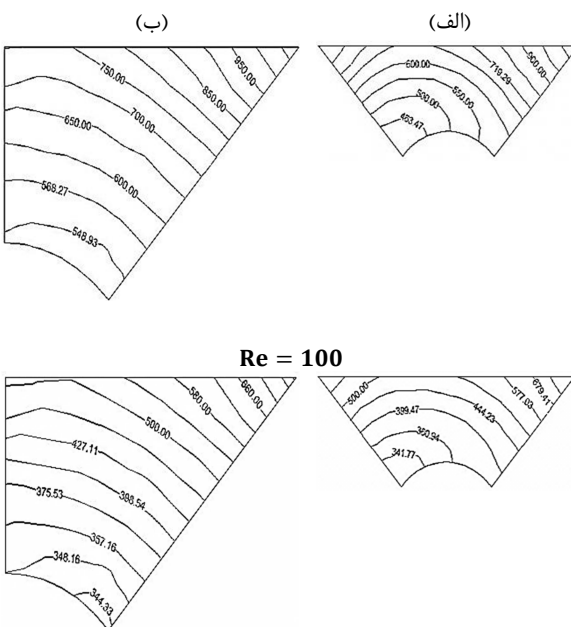
نتایج حاصل از نمودار ۱۵ در جدول ۱۰ به صورت عددی ذکر شده است. با مقایسه‌ی مقادیر جداول ۹، ۸ و ۱۰ می‌توان گفت تفاضل دمای دیواره و دمای میانگین، در طول کanal متغیر است. این تفاضل در ابتدا به علت بزرگ بودن مقدار ضریب جابجایی، در ورودی کanal کوچک بوده اما با پیشروع در امتداد کanal، افزایش یافته زیرا ضریب انتقال حرارت جابجایی با گسترش لایه‌ی مرزی کاهش می‌پابد. در هر بخشی از کanal که مقدار ضریب انتقال حرارت جابجایی مستقل از امتداد طول کanal باشد تفاضل مذکور هم همین رفتار را نشان می‌دهد. همچنین از مقایسه‌ی نتایج مندرج در این جداول مشخص است که برای جریان نانوسیال نسبت به سیال خالص، تفاوت کمتری بین دمای میانگین جریان و دمای دیواره‌ی کanal وجود دارد.

به وضوح مشاهده می‌شود که دمای بالک (میانگین) جریان سیال به طور قابل ملاحظه‌ای با افزایش درصد حجمی ذرات، کاهش می‌پابد. به طور مثال برای یک نرخ جریان جرمی ثابت برابر $۰/۰۲۹$ کیلوگرم بر ثانیه، میانگین دمای بالک سیال دارای مقدار تقریبی $۳۱۱/۴۴۲$ کلوین برای غلظت ۲% و برابر $۳۰۷/۳۸۹$ برای آب خالص، و مقدار درشتایط نرخ جریان جرمی برابر $۰/۰۰۳۸۷$ کیلوگرم بر ثانیه، متوسط دمای میانگین سیال دارای مقدار تقریبی $۴۴۷/۸۲$ برای آب خالص، و مقدار $۴۰۰/۷۵۳$ برای غلظت ۱% نانوسیال است. به نظر می‌رسد چنین روند کاهشی در دمای بالک جریان نانوسیال تقریباً همیشه در محدوده‌های مختلف نرخ جریان جرمی ظاهر می‌شود. از طرف دیگر به وضوح مشخص است در غلظت ثابت نانو ذرات، دمای میانگین سیال با افزایش نرخ جریان جرمی کم شده است. نسبت این کاهش در مقایسه با متغیر کسر حجمی، کمتر بوده و علت این است که در عمل افزایش نرخ جریان جرمی که متاثر از افزایش عدد رینولدز است، افزایش ضریب انتقال حرارت جابجایی را نیز به دنبال دارد. بنابراین می‌توان نتیجه گرفت که افزایش انتقال حرارت همانطور که به غلظت حجمی ذرات نانوسیال بستگی دارد، به نرخ جریان جرمی سیال نیز مربوط است. باز هم اشاره‌ای به تاثیر عدد رینولدز جریان است. در صنعت اغلب افت فشار لازم برای حفظ جریان داخلی اهمیت دارد زیرا این پارامتر، تعیین کننده‌ی قدرت پمپ یا فن خواهد بود.



Re = 100

شکل ۱۷- کانتور خطوط جریان در مقطع خروجی کanal



Re = 100

شکل ۱۸- خطوط دما در مقطع خروجی کanal

۱۰- نتیجه‌گیری

در این مطالعه، انتقال حرارت جابجایی اجباری در کanal با مقطعی غیر مدور و غیر منظم حاوی نانوسیال آب - آلومنیا، بررسی شد. معادلات حاکم توسط الگوریتم سیمپل حل شده‌اند. به طور کلی مشاهده شد که حضور صفحه نگهدارنده منجر به رفتار حرارتی و هیدرودینامیکی متفاوتی در کanal می‌شود. بیشترین تاثیر در بهبود رفتار حرارتی جریان به ترتیب ناشی از تغییر عدد رینولدز سپس کسر

افزایش با روند افزایش عدد رینولدز تا ۱۰۰۰ و نیز افزایش کسر حجمی ذرات نانو از ۱٪ تا ۵٪، محسوس‌تر است.

میزان افت فشار در غلظت نانوسیال برابر ۵٪ و عدد رینولدز برابر ۱۰۰ حدود ۲۲۱ برابر جریان سیال آب خالص شده است. این افزایش در غلظت ۱٪ حدود ۱۸۵ برابر است که موجب افزایش چشمگیر توان پمپ در فرایند پمپ کردن جریان نانوسیال خواهد شد. همچنین بررسی نتایج نشان می‌دهد که افزایش عدد رینولدز برای مقادیر ثابت غلظت حجمی نیز موجب افزایش انتقال حرارت و افت فشار می‌گردد.

در تحلیل تنش برشی جریان سیال در طول کanal مشخص است که به طور کلی گرانزوی دینامیکی نانوسیالات وابستگی شدیدی به دما و درصد حجمی نانوذرات دارد، به طوریکه با افزایش درصد حجمی در شرایط دمای معین، گرانزوی افزایش می‌یابد. اما در تراکم ذره‌ی معین با افزایش دما شاهد کاهش گرانزوی خواهیم بود.

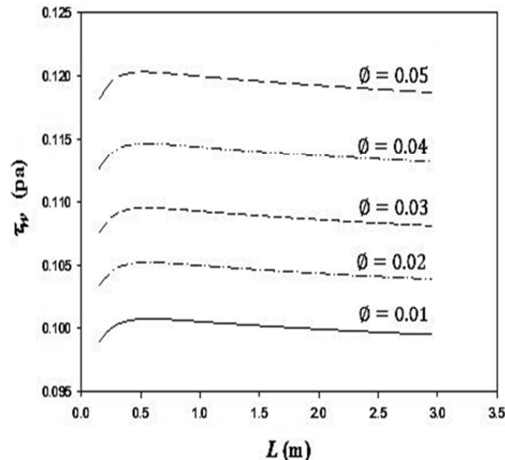
به عبارتی با پیشروی جریان نانو سیال در مجرأ دمای میانگین دیواره‌ی کanal و دمای متوسط فلاکس جرمی سیال افزایش یافته و این تغییرات دما روی حرکت براونی و برهه‌کنش‌های نانو ذرات در نانوسیال تاثیر گذار است و باعث کاهش گرانزوی مخلوط در طول کanal شده است.

همچنین افزایش عدد رینولدز باعث افزایش مقادیر تنش برشی شده است. با توجه به فرمولهای (۱۴) و (۲۲)، در شکل ۱۶ روند تغییرات تنش برشی در رینولدز ۱۰۰۰ برای غلظت‌های مختلف نمایش داده شده است.

۹- مقایسه نتایج در دو حالت وجود و نبود صفحه نگهدارنده

در شکل‌های ۱۷ و ۱۸ مقایسه‌ای بین کانتورهای خطوط جریان و خطوط هم‌دما در دو عدد رینولدز ۱۰۰ و ۲۵۰ برای دو هندسه‌ی مختلف مقطع عبوری جریان، انجام شده است.

همانگونه که از مقایسه نتایج مشخص است وجود صفحه‌ی نگهدارنده در مقایسه با حالتی که صفحه وجود ندارد تفاوت‌هایی را در رفتار حرارتی و هیدرودینامیکی جریان ایجاد کرده است. کانتورها و خطوط دمایی نشان داده شده مربوط به مقطع خروجی مجرأ هستند.



شکل ۱۶- بررسی تغییرات تنش برشی در طول کanal و $Re=1000$

- using two-phase mixture model, *Applied Thermal Engineering.*, vol. 28, pp. 717–727, 2008
- [4] Pishkar I. and Ghasemi B., Effect of nanoparticles on mixed convection heat transfer in a horizontal channel with heat source, *Modares Mechanical Engineering.*, vol. 12, no. 2, pp. 95–108, 2012. (In Persian)
- [5] Vasefi B. I. and Alizadeh M., A Numerical Investigation of Cuo-Water Nanofluid in Different Geometries by Two-Phase Euler-Lagrange Method, *World Appl. Sci. Journal.*, vol. 26, No. 10, pp. 1323–1329, 2013
- [6] Heris S. Z., Noei SH., Talaee E., Sargolzaei J., CuO/Water Nanofluid Heat Transfer Through Triangular Ducts, *Iranian Journal of Chemical Engineering Vol. 9, No. 1 (Winter), IAChE, 2012*
- [7] Ho C. J., Chen M. W. , Li Z. W., Numerical simulation of natural convection of nanofluid in a square enclosure: effects due to uncertainties of viscosity and thermal conductivity, *International Journal of Heat and Mass Transfer*, Vol. 51, No. 17-18, pp. 4506–4516, 2008.
- [8] Ben Mansour R., Galanis N., Nguyen C. T., Developing laminar mixed convection of nanofluids in an inclined tube with uniform wall heat flux, *International Journal of Numerical Methods for heat and fluid flow*, Vol. 19, No. 2, pp. 146-164. 2009.
- [9] Nguyen C. T., Roy G., Gauthier C., and Galanis N., Heat transfer enhancement using Al_2O_3 -water nanofluid for an electronic liquid cooling system, *Applied Thermal Engineering.*, vol. 27, No. 8–9, pp. 1501–1506, Jun. 2007
- [10] Heris S. Z., Esfahany M. N., and Etemad G., Numerical Investigation of Nanofluid Laminar Convective Heat Transfer through a Circular Tube, *Heat Transfer. Part A Appl.*, vol. 52, No. 11, pp. 1043–1058, Sep. 2007
- [11] Shah R. K., London A. L., Laminar Flow Forced Convection In Ducts, Chemical Engineering Department, Academic Press New York , San Francisco , London, pp. 350-355, 1978.
- [12] Zhang LZ., Laminar flow and heat transfer in plate-fin triangular ducts in thermally developing entry region, *International Jornal of Heat and Mass transfer*, Vol. 50, No.7-8, pp.1637-1640, 2007.
- [13] Heyhat M. M. and Kowsary F., Effect of Particle Migration on Flow and Convective Heat Transfer of Nanofluids Flowing Through a Circular Pipe, *Journal Heat Transfer*, vol. 132, No. 6, p. 062401, 2010
- [14] Mehrzad salakjani S., Kalteh M., Majlesi, Numerical study of flow and heat transfer in a channel between a square and solid tubes located in the center of it, Proceedings of The 5th Conference of heat exchangers, Tehran, Iran, MOBADDEL05-020, November21, 2013. (in Persian)
- [15] Pak B., Cho Y. I., Hydrodynamic and heat transfer study of dispersed fluids with submicron metallic oxide particles, *Experimental Heat Transf*, Vol. 11, No. 2, pp. 151-170, 1998.
- [16] Hamilton R. L., Crosser O. K., Thermal Conductivity of Heterogeneous Two Component Systems, *Industrials and Engineering Chemistry Fundamentals*, Vol. 1, No. 3, pp. 187-191, 1962.
- [17] Kalteh M., Abbassi A., Saffar-Aval M., Frijns A., Darhuber A., Harting J., Experimental and numerical investigation of nanofluid forced convection inside a wide microchannel heat sink, *Applied Thermal Engineering*, Vol. 36 , PP: 260-268, 2012
- [18] Chon C. H., Kihm K. D., Lee S. P., Choi S. U. S., Empirical correlation finding the role of temperature and particle size for nanofluid (Al_2O_3) thermal conductivity enhancement, *Applied Physics Letters*, Vol. 87, No. 15, pp. 1–3, 2005.
- [19] Nguyen C. T., F. Desgranges, Roy G., Galanis N., Mar'e T., Boucher S., Mintsa H.A., Temperature and particle-size dependent viscosity data for waterbased nanofluids-hysteresis phenomenon, *International Journal of Heat Fluid Flow*, Vol. 28 , No 6, pp. 1492–1506, 2007.
- [20] Sider E. N., Tate G. E., Heat transfer and pressure drop of liquids in tubes, *Industrial & Engineering Chemistry*, Vol. 28, No. 12, pp. 1429–1435, 1936.

حجمی نانو ذرات و در نهایت تغییر عدد پرانتل برای قطر ثابتی از نانوذرات است. همچنین در همه اعداد رینولدز، افزایش در صد حجمی نانو ذرات باعث افزایش عدد ناسلت شده که در اعداد رینولدز کوچک کمتر است. زیرا در رینولدزهای کوچک برخورد ملکولی کاهش یافته و در نتیجه اثر ضریب هدایت نانوسیال کمتر می‌باشد. همچنین افزایش عدد رینولدز برای مقادیر ثابت غلظت حجمی باعث افزایش افت فشار شده است.

۱۱- فهرست علائم

c_p	ظرفیت گرمایی ویژه (J/kgK)
f	ضریب اصطکاک مودی
h	ضریب انتقال حرارت جابجایی (W/m ⁻² k ⁻¹)
K	ضریب هدایت گرمایی (Wm ⁻¹ k ⁻¹)
P	فشار (Pa)
Pr	عدد پرانتل
Re	عدد رینولدز
u	سرعت در جهت x (ms ⁻¹)
v	سرعت در جهت y (ms ⁻¹)
w	سرعت در جهت z (ms ⁻¹)
z	راستای طول کanal (m)
Nu	عدد ناسلت
T	دما (K)

علائم یونانی

α	ضریب پخش حرارتی (m ² s ⁻¹)
ϕ	کسر حجمی نانوذرات
μ	لزجت دینامیکی (kgm ⁻¹ s ⁻¹)
ρ	چگالی (kgm ⁻³)

زیرنویس‌ها

avg	مقدار میانگین
bf	سیال پایه
bulk	مربوط به دمای میانگین سیال
nf	نانو سیال
p	نانو ذره
in	ورودی سیال
wall	دیواره

۱۲- مراجع

- [1] Choi SUS., In: Enhancing thermal conductivity of fluids with nanoparticles. In Developments and Applications of Non-Newtonian Flows. Volume, FED-231/MD-66. Siginer DA, Wang HP, editor. ASME, New York; pp. 99–105 , 1995.
- [2] Mursched S. M. S., & Castro N., Forced Convective Heat Transfer of Nanofluids in Minichannel, in Two Phase Flow, Phase Change and Numerical Modeling, Ed , A. Ahsan, Chapter 18, pp.419-434, INTECH, Vienna, 2011.
- [3] Mirmasoumi S. and Behzadmehr A., Numerical study of laminar mixed convection of a nanofluid in a horizontal tube